

· 论著 ·

氯沙坦通过增加葡萄糖转运蛋白 4 膜转位改善 2 型糖尿病大鼠胰岛素抵抗

闫朝丽 王慧 孟兴凯 苏秀兰 张嘉玲 胡康洪

【摘要】 目的 研究 2 型糖尿病(T2DM)SD 大鼠血管紧张素Ⅱ受体拮抗剂(ARB)是否改善胰岛素抵抗及对 IRS1 磷酸化、PI3K 途径中 Akt 磷酸化及 GLUT4 转位的影响。**方法** 42 只 SD 大鼠分别给予高脂高糖饮食/链脲佐菌素(STZ)或普通饮食喂养, 当空腹血糖(FPG)≥7.8 mmol/L 且伴有胰岛素抵抗者为成模 T2DM 大鼠 20 只, 正常组 20 只; 分为正常不干预组(A 组)、正常干预组(B 组)、T2DM 不干预组(C 组)及 T2DM 干预组(D 组), 每组 10 只。B 组及 D 组给予氯沙坦($4 \text{ mg} \cdot \text{kg}^{-1} \cdot \text{d}^{-1}$), 干预 6 周后计算胰岛素敏感指数(ISI), 取腓肠肌备用。通过免疫组织化学(IHC)及 Western blotting 检测 IRS1/P^{tyr}-IRS1、Akt/P^{ser473}-Akt 及 GLUT4 蛋白表达。**结果** (1) 成功制备了 T2DM 大鼠模型。IHC 结果示 C、D 组较 A、B 组 P^{tyr}-IRS1、P^{ser473}-Akt 蛋白表达减少; Western blotting 结果示 P^{tyr}-IRS1、GLUT4 膜蛋白表达减少($P < 0.05$)。(2) 氯沙坦干预后, D 组 FBG(mmol/L)、FINS(μU/ml)(18.8 ± 4.1 , 27 ± 5)较 C 组(19.7 ± 3.7 , 27 ± 6)降低, ISI 升高(D 组 -6.18 ± 0.08 , C 组 -6.18 ± 0.08 , $P < 0.05$); IHC 示 P^{tyr}-IRS1 蛋白表达升高($P < 0.05$); Western blotting 示 GLUT4 膜蛋白、P^{tyr}-IRS1 上升($P < 0.05$), P^{ser473}-Akt 蛋白的表达无差异($P > 0.05$)。**结论** 氯沙坦通过增加骨骼肌组织中 GLUT4 的转位而改善 T2DM 大鼠的胰岛素抵抗。

【关键词】 2 型糖尿病大鼠; 氯沙坦; 葡萄糖转运蛋白 4; 胰岛素抵抗

Insulin resistance is improved by losartan in type 2 diabetic rats through glucose transporter protein 4 pathway Yan Zhaoli*, Wang Hui, Meng Xingkai, Su Xiulan, Zhang Jialing, HU Kanghong.

* Department of Endocrinology, Affiliated Hospital, Inner Mongolia Medical University, Hohhot 010050, China

Corresponding author: Yan Zhaoli, Email:aliceyzl@126.com

[Abstract] **Objective** An animal model for type 2 diabetes mellitus (T2DM) was developed for studying improvement of angiotensin II receptor blocker on insulin resistance (IR) and influence on insulin receptor substrate 1 (IRS1) and Akt phosphorylation of phosphatidylinositol 3-kinase (PI3K) pathway and translocation of glucose transporter-4 (GLUT4). **Methods** Twenty of 42 male SD rats were randomly fed with high-fat/high-sugar diet and treated with Streptozotocin for type 2 diabetic model and other 20 for normal control group fed with standard diet. Rats with FPG ≥ 7.8 mmol/L accompanied by IR were considered as T2DM models. Rats were randomly divided into control group A, control treated group B, T2DM control group C and T2DM treated group D ($n = 10$ in each group), rats in group B and D were treated with losartan. Six weeks later, blood samples were measured to calculate ISI (insulin-sensitivity index). Skeletal muscles were removed from hind legs and stored. Expressions of IRS1/P^{tyr}-IRS1, Akt/P^{ser473}-Akt and GLUT4 protein detected by Immunohistochemistry (IHC) and Western blotting. **Results** (1) Models of T2DM rats were successfully induced. Compared with group A and B, expressions of P^{tyr}-IRS1, P^{ser473}-Akt in group C and D by IHC and expressions of P^{tyr}-IRS1 and membrane GLUT4 by Western blotting reduced significantly ($P < 0.05$). (2) The value of FPG (mmol/L), FINS (μU/ml) of T2DM rats decreased in Group D (18.8 ± 4.1 , 27 ± 5) compared with group C (19.7 ± 3.7 , 27 ± 6), while ISI increased (D group -6.18 ± 0.08 , C group -6.18 ± 0.08 , $P < 0.05$), the expression of P^{tyr}-IRS1 increased ($P < 0.05$) (IHC), expression of membrane GLUT4 and P^{tyr}-IRS1 increased ($P < 0.05$) (Western blotting), there was no difference of P^{ser473}-Akt between group C and D (Western blotting).

DOI:10.3760/cma.j.issn.1674-5809.2014.01.009

基金项目: 教育部春晖计划(Z2007-1-01008); 内蒙古医科大学附属医院重大科研项目(NYFY ZD 201005)

作者单位: 010050 呼和浩特, 内蒙古医科大学附属医院内分泌科(闫朝丽、王慧), 普通外科(孟兴凯), 临床医学研究中心(苏秀兰、张嘉玲); 中国科学院武汉病毒研究所病毒 RNA 结构与功能关系学科组(胡康洪)

通信作者: 闫朝丽, Email:aliceyzl@126.com

Akt expression in both ways. Conclusion Losartan can increase the translocation of GLUT4 in muscle tissues to improve IR status of T2DM rats.

[Key words] Type 2 diabetic rats; Losartan; Glucose transporter 4; Insulin resistance

胰岛素抵抗是 2 型糖尿病(T2DM)发生的启动因素。血管紧张素Ⅱ(AngⅡ)是肾素-血管紧张素系统(RAS)的重要效应分子,激活的 RAS 改变了胰腺血流、加重炎症反应及氧化应激,使胰岛形态和功能受损并使肌肉及脂肪功能受损导致胰岛素抵抗^[1]。因此抑制 RAS 是针对 T2DM 的胰岛素抵抗的重要靶点。研究显示 AngⅡ受体拮抗剂(ARB)类药物可改善胰岛素抵抗^[2]。与阿替洛尔相比,氯沙坦可使新发糖尿病发生率下降 25%;缬沙坦较那格列奈能降低糖尿病的累积发病率^[2]。在胰岛素信号转导途径中,磷脂酰肌醇 3 激酶(PI3K)/丝氨酸/苏氨酸激酶(Akt)是经典的下游通路,胰岛素受体底物 1(IRS1)磷酸化即 P^{tyr}-IRS1,再与 PI3K 的 P85 调节亚基结合,激活 Akt,促使葡萄糖转运蛋白 4(GLUT4)由胞浆转移至胞膜,使组织有效利用葡萄糖。对于 ARB 改善胰岛素抵抗是否通过 PI3K-Akt 及 GLUT4 途径,目前仍有争议。本实验旨在研究氯沙坦对 T2DM 大鼠骨骼肌 IRS1、P^{tyr}-IRS1、Akt、P^{ser473}-Akt 及 GLUT4 表达的影响。

材料与方法

一、材料

雄性 SPF 级 SD 大鼠[北京维通利华实验动物中心,动物许可证号为 SCXK(京)2006-0009],高脂高糖动物饲料(北京鸿润宝顺科技有限公司),链脲佐菌素(STZ,美国 Sigma 公司),氯沙坦(杭州默沙东制药有限公司),碘¹²⁵胰岛素放射免疫分析药盒(解放军总医院科技开发中心放射免疫所)。

二、方法

1. 造模:6 周龄健康雄性 SD 大鼠 42 只,体重 180~200 g,适应性喂养 1 周后,按随机数字表法分为正常组($n=20$)和造模组($n=22$)。正常组给予普通饲料喂养(热量组成:碳水化合物 62%、蛋白质 26%、脂肪 12%),造模组给予高糖高脂饲料喂养 4 周末禁食 18 h,造模组给予一次性腹腔注射 1% STZ 溶液 30 mg/kg;正常组腹腔注射同剂量 0.1 mol/L 柠檬酸-柠檬酸钠缓冲液;2 周后禁食(不禁水)12 h,上午 8 时断尾取血检测空腹血糖(FPG)、空腹胰岛素(FINS),计算胰岛素敏感指数。FPG $\geq 7.8 \text{ mmol/L}$ 且伴有胰岛素抵抗者为造模成

功^[3]。分为正常不干预组(A 组)、正常干预组(B 组)、糖尿病不干预组(C 组)和糖尿病干预组(D 组),均 10 只。B 组及 D 给予氯沙坦 4 mg · kg⁻¹ · d⁻¹^[4] 干预 6 周,A 组及 C 给予等量生理盐水。

2. 标本采集:药物干预 6 周后禁食 18 h,称体重麻醉,取下 40 只老鼠腓肠肌(在注射 5 U/kg 胰岛素 15 min 后^[5]),置于液氮冷冻固定,储存于 -80 ℃ 备用。

3. 指标检测:观察行为、皮毛、饮食能量、小便、体重等。检测 FPG、FINS(放免法),计算胰岛素敏感指数 (ISI) = $\ln[1/(FPG \times FINS)]$ 。

4. P^{tyr}-IRS1、P^{ser473}-Akt 蛋白的表达(S-P 法):操作步骤按说明书,一抗为 P^{tyr}-IRS1 (1:50),P^{ser473}-Akt (1:50)。光镜下每张切片随机选取 5 个视野,通过 Smart Scape 图像系统分析计算其平均灰度值。

5. Western blotting 检测 GLUT4、IRS1、P^{tyr}-IRS1、Akt、P^{ser473}-Akt 的表达:提取蛋白,配制 18% SDS-PAGE 分离胶溶液,分别取 80 μg 蛋白量的组织总蛋白样品上样,采用半干电转移仪将蛋白质转移至 PVDF 膜,用 5% TBS-T 脱脂奶粉封闭,室温振荡 60 min。一抗(总蛋白 GLUT4 为 1:1000,膜蛋白 GLUT4 1:500,IRS1 1:1000,P^{tyr}-IRS1 1:1000,Akt 1:1000,P^{ser473}-Akt 1:1000),封口 4 ℃ 孵育过夜;二抗(内参 β-肌动蛋白 actin 为 1:2000),37 ℃ 振荡 60 min;避光显影,用 IPP 图像分析软件对目的条带进行分析,计算其平均灰度值。

三、统计学处理

采用 SPSS 13.0 统计学软件,指标数据以 $\bar{x} \pm s$ 表示,组间比较采用单因素方差分析,进行方差齐性检验,组间两两比较采用 SNK 检验。检验水准 $\alpha = 0.05$, $P < 0.05$ 有统计学意义。

结 果

一、T2DM 大鼠模型制备及一般情况

T2DM 成模大鼠 20 只,死亡 2 只;正常组 20 只。成模大鼠表现为少动、拱背扎堆、眯眼、精神萎靡;进食、饮水及小便量增加,毛发暗淡少毛、刺毛。尾部个别出现少许溃烂、褐斑。喂养 4 周末,与正常组(A 组 284 ± 58、B 组 279 ± 49)比较,C 组(399 ± 44)、D 组(392 ± 30)体重增加($P < 0.01$),FPG 水平

无差异 ($P > 0.05$)。实验 6 周末结果见表 1, 氯沙坦干预 6 周后结果见表 2。

二、IHC 结果

表 1 基线时大鼠一般情况 ($\bar{x} \pm s, n = 10$)

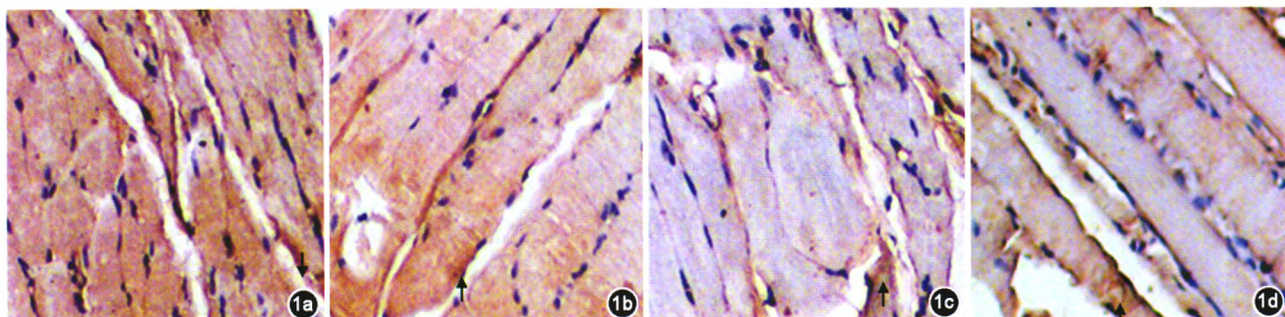
组别	FPG (mmol/L)	FINS (mU/L)	ISI	体重(g)
A 组	5.6 ± 1.2	15 ± 6	-4.35 ± 0.14	324 ± 37
B 组	5.2 ± 1.1	15 ± 4	-4.31 ± 0.12	328 ± 42
C 组	19.7 ± 3.7 ^{ab}	27 ± 6 ^{ab}	-6.18 ± 0.08 ^{ab}	391 ± 48 ^{ab}
D 组	18.8 ± 4.1 ^{ab}	27 ± 5 ^{ab}	-6.18 ± 0.08 ^{ab}	374 ± 28 ^{ab}
F 值	83.315	18.288	134.491	7.154
P 值	<0.05	<0.05	<0.05	<0.05

注: FPG: 空腹血糖; FINS: 空腹胰岛素; ISI: 胰岛素敏感指数; 与 A 组比较,^a $P < 0.05$; 与 B 组比较,^b $P < 0.05$

表 2 氯沙坦干预后大鼠一般情况 ($\bar{x} \pm s, n = 10$)

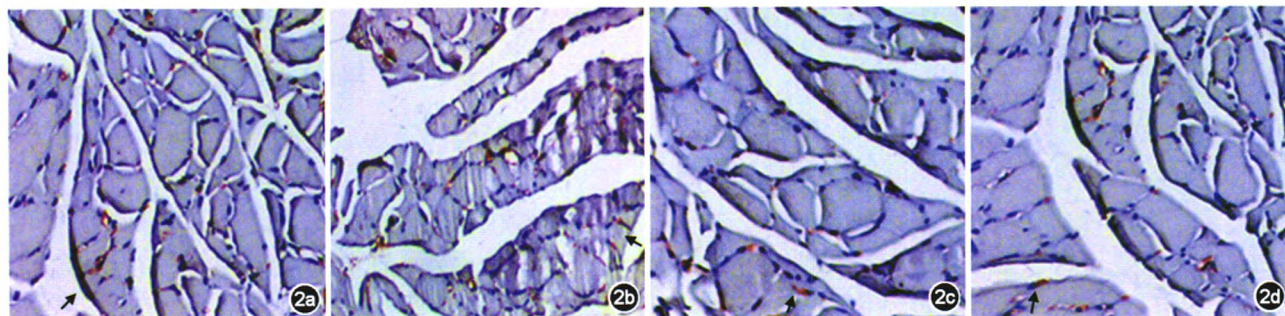
组别	FPG (mmol/L)	FINS (mU/L)	ISI	体重(g)
A 组	5.3 ± 1.6	14 ± 4	-4.26 ± 0.11	463 ± 39
B 组	5.6 ± 1.4	14 ± 4	-4.27 ± 0.16	450 ± 24
C 组	19.8 ± 4.3 ^{ab}	37 ± 8 ^{ab}	-6.55 ± 0.12 ^{ab}	346 ± 39 ^{ab}
D 组	17.0 ± 3.7 ^{abc}	23 ± 5 ^{abc}	-5.91 ± 0.08 ^{abc}	353 ± 27 ^{ab}
F 值	69.439	42.731	56.828	35.884
P 值	0	0	0	0

注: FPG: 空腹血糖; FINS: 空腹胰岛素; ISI: 胰岛素敏感指数; 与 A 组比较,^a $P < 0.05$; 与 B 组比较,^b $P < 0.05$; 与 C 组比较,^c $P < 0.05$



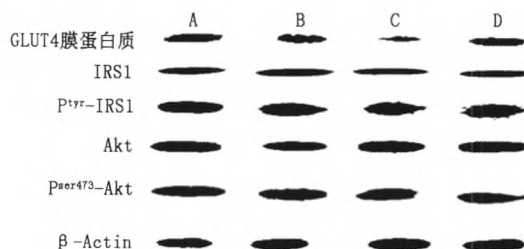
注: 1a: 正常不干预组; 1b: 正常干预组; 1c: 2 型糖尿病(T2DM)不干预组; 1d: T2DM 干预组

图 1 P^{tyr}-IRS1 蛋白表达 低倍放大(箭头示 P^{tyr}-IRS1 蛋白表达阳性)



注: 2a: 正常不干预组; 2b: 正常干预组; 2c: 2 型糖尿病(T2DM)不干预组; 2d: T2DM 干预组

图 2 P^{ser473}-Akt 蛋白表达 低倍放大(箭头示 P^{ser473}-Akt 蛋白表达阳性)

图 3 各组大鼠骨骼肌组织中蛋白表达($n=10$)

注:A:正常不干预组;B:正常干预组;C:2型糖尿病(T2DM)不干预组;D:T2DM干预组;GLUT4:葡萄糖转运蛋白4;IRS1:胰岛素受体底物1;P^{Tyr}-IRS1:胰岛素受体底物1酪氨酸磷酸化;Akt:丝氨酸/苏氨酸激酶;P^{Ser473}-Akt:丝氨酸激酶磷酸化

(/ β -Actin)表达在 4 组中(A 组 0.72 ± 0.02 , B 组 0.63 ± 0.03 , C 组 0.71 ± 0.11 , D 组 0.62 ± 0.05)没有差异($P > 0.05$)。 P^{Ser473} -Akt C 组(0.98 ± 0.28)与 A 组(1.37 ± 0.30)、B 组(1.52 ± 0.39)相比表达下降($P < 0.05$),D 组(0.97 ± 0.03)与 C 组相比差异无统计学意义($P > 0.05$)。

讨 论

伴胰岛素抵抗的 T2DM 大鼠造模方法一直在探索中^[3-6]。高脂高糖饮食/小剂量 STZ 大鼠模型缩短了造模时间,是研究 T2DM 胰岛素抵抗的理想模型。本文以血糖 > 7.8 mmol/L 伴胰岛素敏感性降低为 T2DM 大鼠成模标准^[3]。本研究成功地建立了 T2DM 动物模型,大鼠 FPG 和 FINS 水平增高。氯沙坦干预后 FPG 及 FINS 水平下降,ISI 上升,改善了胰岛素抵抗。与厄贝沙坦的研究结果相似^[7],该研究在胰岛素抵抗的 ZK 大鼠及 L6 成肌细胞中证实厄贝沙坦促进了 GLUT4 的转位。胰岛素信号转导途径包括 PI3K、有丝分裂原活化蛋白激酶(MAPK)及 CAP-Cbl。有研究在胰岛素抵抗大鼠的心肌细胞中发现 ARB 改善胰岛素抵抗通过 PI3K-Akt 途径^[8]。

本研究 Western blotting 结果显示 IRS1、Akt 蛋白表达没有差别,二者为非活性形式,因此不能说明问题。T2DM 组 P^{Tyr}-IRS1、P^{Ser473}-Akt 蛋白表达较正常组下降,氯沙坦干预后 P^{Ser473}-Akt 水平并没有变化。在胰岛素抵抗患者的骨骼肌中 PI3K 活性降低,但仍能使 Akt 正常激活^[9]。PI3K 的下游靶分子除 Akt 之外,还有非典型 PKC 异型体 ζ 和 λ (PKC ζ/λ)^[10]。Jiang 等^[11]研究表明,使用 PI3K 抑制剂(wortmannin)能阻断 GLUT4 转位,而当加入 PI-3 类

似物后,该抑制剂并不能阻断脂肪细胞对葡萄糖摄取的增加,提示从 IRS 磷酸化到 Akt 的激活缺陷可能并不是 T2DM 胰岛素抵抗的唯一途径。

本研究中氯沙坦干预后 GLUT4 膜蛋白表达有差异,表明它可促进骨骼肌细胞膜 GLUT4 的易位,这与其他研究一致^[3]。GLUT4 是主要的葡萄糖运载体,其充分转位需 p38 MAPK 或其下游信号分子的磷酸化激活,GLUT4 磷酸化或构象改变,从而介导胰岛素调节 GLUT4 的活性^[12]。近期研究表明胰岛素还可通过 CAP/Cbl 通路促使 GLUT4 转位^[13]。但氯沙坦是否通过 p38 MAPK 调节 GLUT4 活性或通过 CAP-Cbl 途径影响葡萄糖的转运还有待探索。

参 考 文 献

- [1] Goossens GH. The renin-angiotensin system in the pathophysiology of type 2 diabetes[J]. Obes Facts, 2012, 5:611-624.
- [2] Luan FL. Effect of valsartan on the incidence of diabetes[J]. N Engl J Med, 2010, 263:792-793.
- [3] Sahin K, Onderci M, Tuzcu M, et al. Effect of chromium on carbohydrate and lipid metabolism in a rat model of type 2 diabetes mellitus: the fat-fed, streptozotocin-treated rat[J]. Metabolism, 2007, 56:1233-1240.
- [4] WU Yong, YANG Jing-Ping, ZHOU Yun-Feng, et al. Mechanism of improving effect of losartan on insulin sensitivity of non-insulin-dependent diabetes mellitus rats[J]. Acta Physiologica Sinica, 2004, 56:539-549.
- [5] Sun W, Bi Y, Liang H, et al. Inhibition of obesity-induced hepatic ER stress by early insulin therapy in obese diabetic rats[J]. Endocrine, 2011, 39:235-241.
- [6] 陈嘉,张永斌,桑传兰,等. SD 大鼠 2 型糖尿病模型的建立及相关指标的测定[J]. 动物医学进展, 2012, 33:91-95.
- [7] Kobayashi T, Akiyama Y, Akiyama N, et al. Irbesartan enhances GLUT4 translocation and glucose transport in skeletal muscle cells[J]. Eur J Pharmacol, 2010, 649(1-3):23-28.
- [8] Huisamen B, Pérel SJ, Friedrich SO, et al. ANG II type I receptor antagonism improved nitric oxide production and enhanced eNOS and PKB/Akt expression in hearts from a rat model of insulin resistance[J]. Mol Cell Biochem, 2011, 349(1-2):21-31.
- [9] Kim YB, Nikouline SE, Ciaraldi TP, et al. Normal insulin-dependent activation of Akt/protein kinase B, with diminished activation of phosphoinositide 3-kinase, in muscle in type 2 diabetes[J]. J Clin Invest, 1999, 104:733-741.
- [10] Sajan MP, Farese RV. Insulin signalling in hepatocytes of humans with type 2 diabetes: excessive production and activity of protein kinase C- τ (PKC- τ) and dependent processes and reversal by PKC- τ inhibitors[J]. Diabetologia, 2012, 55: 1446-1457.
- [11] Jiang T, Sweeney G, Rudolf MT, et al. Membrane-permeant esters of phosphatidylinositol 3, 4, 5-trisphosphate[J]. J Biol Chem, 1998, 273:11017-11024.
- [12] Furtado LM, Somwar R, Sweeney G. Activation of the glucose transporter GLUT4 by insulin[J]. Biochem Cell Biol, 2002, 80: 569-578.
- [13] Zhao Y, Zhou Y. Puerarin improve insulin resistance of adipocyte through activating Cbl binding protein path[J]. Chin J Integr Med, 2012, 18:293-298.

(收稿日期: 2013-02-20)

(本文编辑:杨颖)

抗

作者:

闫朝丽, 王慧, 孟兴凯, 苏秀兰, 张嘉玲, 胡康洪, Yan Zhaoli, Wang Hui, Meng Xingkai, Su Xiulan, Zhang Jialing, HU Kanghong

作者单位:

闫朝丽, 王慧, Yan Zhaoli, Wang Hui(内蒙古医科大学附属医院内分泌科, 呼和浩特, 010050), 孟兴凯, Meng Xingkai(内蒙古医科大学附属医院普通外科, 呼和浩特, 010050), 苏秀兰, 张嘉玲, Su Xiulan, Zhang Jialing(内蒙古医科大学附属医院临床医学研究中心, 呼和浩特, 010050), 胡康洪, HU Kanghong(中国科学院武汉病毒研究所病毒RNA结构与功能关系学科组)

刊名:

中华糖尿病杂志



英文刊名:

Chinese Journal of Diabetes Mellitus

年, 卷(期):

2014, 6(1)

本文链接: http://d.g.wanfangdata.com.cn/Periodical_zhtnb201401009.aspx